

# 감포와 연일 지역 벤토나이트 내 일라이트-스멕타이트 혼합층광물의 팽창성 및 X-선 부합성산란영역크기에 관한 연구

강일모<sup>1)</sup> · 문희수<sup>1)</sup> · 유장한<sup>2)</sup>

## 1. 서 론

일반적으로 스멕타이트는 온도, 시간, 공극수 내 K 함량 등이 증가하면서 일라이트화 작용을 통하여 일라이트-스멕타이트 혼합층광물(I-S)로 전이된다. 따라서, 벤토나이트(주로 스멕타이트질 광물로 구성된 화산쇄설물의 변질산물)는 지질환경에 따라 스멕타이트 또는 다양한 혼합층비를 갖는 I-S를 함유하게 된다. 이러한 벤토나이트 내 스멕타이트와 일라이트의 혼합층비는 팽창성(expandability)으로 정량화할 수 있다. 팽창성이란 I-S 결정자의 층간이 물분자나 극성 유기분자에 의해 저면간격이 팽창함을 의미하는 것으로 주로 스멕타이트 층간에서 발생하며, 식 [1]과 같이 표현한다(Srodoń et al., 1992).

$$\text{팽창성}(\%) = \frac{\text{팽창가능 층개수}}{\text{전체 층개수}} \times 100\% \quad [1]$$

X-선분말회절(X-ray powder diffraction; 이하 XRD)을 이용하여 I-S의 팽창성을 측정하는 분석방법에 관한 많은 연구가 진행되어 왔으며, 이러한 팽창성을 %S<sub>XRD</sub>라 표기한다. 그러나, 팽창성을 정량적으로 이해하기 위해서는 식 [1]과 같이 전체층간을 알아야 하며, 이를 X-ray 부합성산란영역크기(coherent scattering domain size; 이하 CSDs)로 간주할 수 있다(Altaner & Ylagan, 1997; 강일모 등, 2002). Mystkowski et al. (2000)은 벤토나이트에서 측정한 CSDs와 고분해능투과전자현미경에서 관찰한 벤토나이트의 결정자 두께가 유사함을 보고하였다.

벤토나이트의 팽창성과 CSDs는 식 [1]과 같이 팽창가능 층간과 직접 관련되어 있기 때문에 벤토나이트의 물리·화학적 성질과 매우 밀접한 연관성이 있다(Srodoń et al., 1992). 그러나, 국내에서 산출되는 벤토나이트에 대한 팽창성과 CSDs에 관한 연구는 미미한 현실이다. 이에 본 연구는 감포와 연일에서 산출되는 벤토나이트의 팽창성과 CSDs를 측정하고, 이를 세계표준 벤토나이트와 비교해 보고자 하였다. 또한, CSDs 측정에 있어서 팽창성에 기인한 문제점을 고찰하고 그 해결방법을 제시하고자 하였다.

## 2. 연구방법

본 연구는 감포와 연일에서 산출되는 벤토나이트 9개와 세계표준 벤토나이트로 사용되는 체토(SAz-1), 곤잘레스(STx-1), 와이오밍(SWy-2) 벤토나이트 3개를 분석하였다. 모든 시료는 Na-아세테이트 (pH=5.5 완충용액), H<sub>2</sub>O<sub>2</sub>, Na-구연산염-중탄산염-디티오나이트(CBD)로 전처리를 실시하였으며(Jackson, 1969), 퇴적법으로 1μm 이하 입도로 분리하였다. 분리된 시료는 NaCl을 이용하여 응집시킨 후, 투석막을 이용하여 잔류염을 제거하였으며 동결건조기로 건조하였다. 정방위시료는 퇴적법을 이용하여 박편용 유리판 위에 약 10mg/cm<sup>2</sup> 두께의

점토필름으로 제작하였으며, 증기법으로 에틸렌글리콜을 24시간 포화시켰다(이하 EG-포화 시료라 함). 또한, 스멕타이트 층간을 K로 포화시키기 위해서 1M KCl 용액으로 시료를 3회 씻은 후에 위와 동일한 방법으로 잔류염 제거, 건조, 정방위시료 제작 후, 300°C에서 4시간 동안 가열하였다(이하 열-처리 시료라 함).

XRD분석은 MXP 18A RINT-2500(MacScience사, 일본) 장비를 사용하였으며, Cu-타켓을 이용하여, 40kV/30mA, 발산슬릿 0.5°, 수광슬릿 0.15°으로 0.02° 20당 5초로 측정하였다. CSDs 측정은 MudMaster 프로그램(Eberl et al., 1996)을 사용하여 Bertaut-Warren-Averbach(BWA) 방법으로 측정하였다.

### 3. 본 론

벤토나이트로부터 분리된 1 $\mu\text{m}$  이하 입도는 XRD 분석결과, 대부분이 순수한 스멕타이트 및 무질서형 I-S(이하 R0 I-S라 함)로 구성되어 있었다(단, YI-22에서 소량의 K-장석 회절선이 검출되었으며, 주사전자현미경으로 약 1 $\mu\text{m}$  크기로 변질된 세립질 K-장석입자를 관찰할 수 있었음). 연구시료는 Inoue et al. (1989)의 EG-처리 시료에 대한 001 피크의 저각도 쪽 굴곡과 001 피크의 강도비(saddle/001 강도비)를 사용하여 팽창성을 측정하였다. 정량선은 NEWMOD© 프로그램(Reynolds & Reynolds, 1996)으로 계산하였으며, 이때 Inoue et al. (1989)이 제시한 조건( $3 < \text{CSDs} < 12$ ; 부정방위 분말형 Lorentz-편광 인자)을 사용하였다. 팽창성 측정결과, 세계표준 벤토나이트는 100% $S_{\text{XRD}}$ , 감포 벤토나이트는 89-100% $S_{\text{XRD}}$ , 연일 벤토나이트는 77-93% $S_{\text{XRD}}$ 로 측정 되었다. 이러한 결과는 감포와 연일에서 산출되는 벤토나이트 대부분이 주로 R0 I-S로 구성되어 있음을 시사하며, 본 연구에서는 대체적으로 연일 벤토나이트가 감포 벤토나이트보다 더 낮은 팽창성을 보였다.

BWA 방법은 회절피크로부터 Lorentz-편광 인자( $L_p$ )와 구조인자( $G^2$ )를 제거함으로써  $\Phi(\theta)$ 를 추출하고,  $\Phi(\theta)$ 에 대한 퓨리어 분석을 통하여 CSDs 분포를 측정하는 방법이다. 따라서, 해당 점토광물에 적당한  $L_p G^2$ 인자를 사용하여  $\Phi(\theta)$ 를 추출하는 과정이 BWA 방법에서 가장 중요하다. 본 연구에서는 기존 연구결과(Inoue et al., 1989; Moore & Reynolds, 1997)와 본 연구실의 사전연구 경험을 바탕으로 부정방위 분말형  $L_p$  인자를 사용하였으며, EG-처리 시료에 대해서는 층간에 2개의 EG층을 갖는 스멕타이트(2-gly smectite)에 대한  $G^2$ 를, 열-처리 시료에 대해서는 반단위포당 층간에 0.4 K를 갖는 일라이트(0.4 K illite)에 대한  $G^2$ 를 사용하여 001 피크로부터  $\Phi(\theta)$ 를 추출하였다. 추출된  $\Phi(\theta)$ 는 이미 배경값이 제거된 상태이기 때문에 배경값 제거에 따른 오차를 줄이고 측정 상의 일관성을 위해서 추출된  $\Phi(\theta)$ 로부터 반치폭을 측정하였다. EG-처리 시료는 팽창성이 감소할수록 추출된  $\Phi(\theta)$ 의 피크 위치는 감소하고 반치폭은 증가하였다. 특히, 본 연구시료 중 팽창성이 가장 낮은 YI-22는 심하게 왜곡된  $\Phi(\theta)$ 가 추출되었다. 반면에, 모든 열-처리 시료에서는 일라이트 저면간격(약 0.98nm)을 갖는 양호한  $\Phi(\theta)$ 가 추출되었다. EG-처리 시료에 대한 BWA 분석 결과, 세계표준 벤토나이트의 평균 CSDs는 SAz-1: 6.1nm, STx-1: 7.7nm SWy-2: 8.4nm 순으로 측정되었으며, 이는 Mystkowski et al. (2000)이 EG-처리 시료에 대하여 측정한 결과와 잘 일치하였다. 감포 벤토나이트의 평균 CSDs는 6.1-8.0nm로 연일 벤토나이트의 3.5-6.5nm보다 다소 높게 측정되었다. 모든 시료는 Eberl et al. (1990)이 제시한 로그정규분포를 보였으나 팽창성이 감소할수록 약 3-4nm 구간이 이론적 로그정규분포보다 높은 빈도값을 보였다. 로그정규분포를 규정하는 평균값( $\alpha$ )과 분산계수( $\beta^2$ )는 각각 1.33-2.00nm와 0.07-0.24nm 범위로 측정되었다. 반면에, 열-처리 시료에 대한 BWA분석 결과, 모든 시료는 로그정규분포를 보

였으며, 세계표준 벤토나이트의 평균 CSDs는 SAz-1: 3.4nm, STx-1: 4.0nm SWy-2: 5.1nm 순으로 측정되었고, 감포 벤토나이트는 3.8-5.4nm, 연일 벤토나이트는 4.0-4.8nm로 측정되었다.  $\alpha$ 와  $\beta^2$ 은 각각 1.13-1.49nm와 0.18-0.30nm 범위로 측정되었다.

#### 4. 토의 및 결론

스멕타이트와 일라이트가 혼합층광물을 형성할 경우에는 부합성산란에 의해 개개의  $G^2$ 와 저면간격이 결정학적으로 상호 영향을 주기 때문에 개개의 회절패턴과는 상이한 복합한 회절패턴이 발생하게 된다. R0 I-S에서 발생하는 EG-처리 시료의 001 피크변형은 Mérting의 제 1 원칙에 의해 이해될 수 있다(Drits et al., 1994; Moore & Reynolds, 1997). 회절패턴에 있어서, 스멕타이트 001 피크(1.68nm)와 일라이트 001 피크(0.98nm)는 상호 간섭을 일으키기에는  $^{2\theta}$  위치가 멀리 떨어져 있기 때문에 팽창성이 감소하여도 스멕타이트 001 피크의 위치는 변화하지 않게 되나, 회절강도는 급격하게 감소하게 되고 반치폭은 점차적으로 증가하게 된다. 그림 1a와 같이, EG-처리 시료의 경우에 팽창성과 반치폭 간에 역의 상관관계를 보이는 것은 이러한 Mérting의 제 1 원칙을 설명해 주는 결과이다. 반면에, 그림 3a에서 보이는 팽창성과 CSDs 간의 정의 상관관계는 Scherrer 식으로 이해될 수 있다. Scherrer 식에서 반치폭과 CSDs는  $FWHM \approx 1/CSDs$ 의 관계가 있기 때문에(Moore & Reynolds, 1997; Drits et al., 1997), 반치폭에서 관찰된 역의 상관관계와는 반대로 CSDs는 팽창성과 정의 상관관계를 보이게 된다. 결론적으로, R0 I-S에 있어서 EG-처리 시료의 001 피크는 Mérting의 제 1 원칙에 의해 강도가 낮아지고 폭이 넓어지는 형태로 변형되기 때문에 벤토나이트 고유의 CSDs에 비해 작은 CSDs가 측정되게 되며, 팽창성이 감소할수록 그 오차는 점점 커지는 결과가 초래된다. 그러므로, R0 I-S를 함유한 벤토나이트의 EG-처리에 대한 001 피크는 CSDs를 측정하는데 있어서 부적합하다.

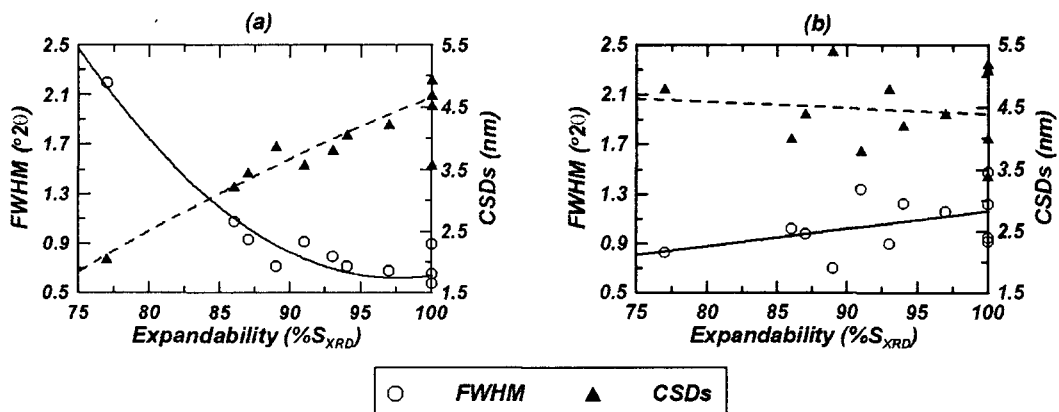


Figure 1. Variations of FWHM and mean CSDs measured for 001 reflections under (a) EG-solvation and (b) dehydration at 300 °C according to expandability. Mean CSDs values for EG-solvation were divided by 1.68 to compare with those for dehydration.

반면에, 열-처리 시료의 경우에는 스멕타이트의  $G^2$ 와 저면간격이 일라이트와 유사해지게 되기 때문에 Méring의 제 1 원칙이 크게 발생하지 않는다. Drits et al. (1997)은 I-S 시료의 경우에 K-포화 후 300°C 열처리를 통하여 스멕타이트 층간을 일라이트 층간으로 붕괴시킴으로써 CSDs 측정 시 저면간격의 혼재에 따른 오차를 줄일 수 있다고 제안하였다. 그림 1b와 같이, 본 연구에서도 열-처리 시료로부터 측정한 CSDs 결과와 팽창성 간에 큰 상관관계가 관찰되지 않았다. 따라서, R0 I-S의 CSDs 측정 시 열처리를 통하여 혼합층에 의한 영향을 효과적으로 제거할 수 있음을 알 수 있다. 열-처리 시료에 대한 CSDs 측정결과, 감포와 연일 벤토나이트는 탈수 시 평균 3.8-5.4nm의 CSDs를 갖는 것으로 사료된다. 일라이트의 경우에 1개 층간 $\approx$ 0.98nm라고 볼 수 있기 때문에 열-처리 시료에서 측정한 CSDs 결과는 I-S 결정자를 구성하는 층개수로 간주할 수 있다(Drits et al., 1997; 강일모 등, 2002). 또한, 강일모 등(2002)의 연구결과에 의하면 I-S 결정자의 CSDs는 팔면체 중앙을 기준으로 층을 고려하기 때문에 I-S 결정자를 구성하는 2:1 규산염층개수는 CSDs에 비해 1개 층만큼 더 크게 된다. 따라서, 감포와 연일 벤토나이트 내 I-S 결정자는 평균 4.8-6.4개의 2:1 규산염층으로 구성되어 있는 것으로 사료된다. 그러나, 열-처리 시료에서 측정한 CSDs를 사용하기 위해서는 이러한 측정값이 벤토나이트 고유의 CSDs를 반영하는지를 검토해 보아야 한다. 세계표준 벤토나이트에 대한 EG-처리 시료와 열-처리 시료의 CSDs 분포를 비교해 본 결과, 거의 유사한 분포를 보였으며, 이는 CSDs가 층간의 변화와 같은 인위적 요인에 크게 영향을 받지 않는다는 기존연구와 일치한다(Srodoń et al., 1992; Mystkowski et al., 2000). 그러므로, 열-처리 시료에서 측정한 CSDs가 해당 시료의 고유한 CSDs를 반영한다고 생각할 수 있다.

$\alpha$ 와  $\beta^2$ 를 이용하여 CSDs 분포 형태를 비교해 보면, 감포와 연일 벤토나이트는 크게 곤잘레스와 와이오밍 벤토나이트형으로 분류될 수 있었으며, 체토 벤토나이트와는 큰 차이를 보인다. 그러나 분류상에서 지역별 차이는 관찰되지 않았다.

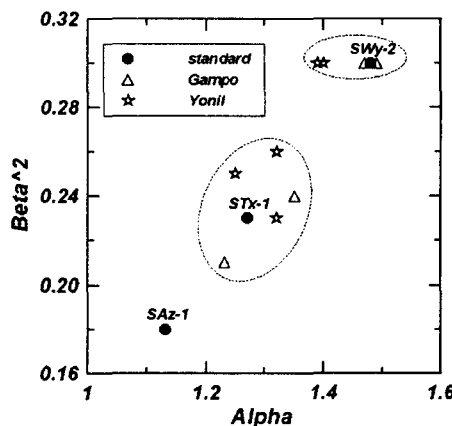


Figure 2. Plot of lognormal parameters for CSDs distributions measured using BWA method (SWy-2: Wyoming bentonite, STx-1: Gonzales bentonite, SAz-1: Cheto bentonite).

## 5. 참고문헌

강일모, 문희수, 김재곤, 송윤구 (2002) 일라이트-스멕타이트 혼합층광물의 팽창성과

- MacEwan 결정자 및 기본입자두께에 관한 연구, *한국광물학회지*, 15, 95-103.
- Altaner S.P. and Ylagan R.F. (1997) Comparison of structural models of mixed-layer illite/smectite and reaction mechanisms of smectite illitization. *Clays and Clay Minerals*, 45, 517-533.
- Eber D.D., Środoń J., Kralik M., Taylor B.E., and Peterman Z.E. (1990) Ostwald ripening of clays and metamorphic minerals. *Science*, 248, 474-477.
- Eberl D.D., Drits V., Środoń J., Nüesch R. (1996) *MudMaster*: A program for calculating crystallite size distributions and strain from the shapes of X-ray diffraction peaks. USGS Open File Report 96-171.
- Drts V.A., Varaxina T.V., Sakharov B.A., and Plançon A. (1994) A simple technique for identification of one-dimensional powder X-ray diffraction patterns for mixed-layer illite-smectite and other interstratified minerals. *Clays and Clay Minerals*, 42, 382-390.
- Drts V.A., Środoń J., and Eberl D.D. (1997) XRD measurement of mean crystallite thickness of illite and illite/smectite: Reappraisal of the Kubler index and the Scherrer equation. *Clays and Clay Minerals*, 45, 461-475.
- Inoue A., Bouchet A., Velde B., and Meunier A. (1989) Convenient technique for estimating smectite layer percentage in randomly interstratified illite/smectite minerals. *Clays and Clay Minerals*, 37, 227-234.
- Jackson M.L. (1969) *Soil chemical analysis-advanced course*, second edition. Published by the author, Madison, Wisconsin, 53705.
- Mystkowski, K., Środoń, J., and Elsass, F. (2000) Mean thickness and thickness distribution of smectite crystallites. *Clay Minerals*, 35, 545-557.
- Moore D.M. and Reynolds R.C. (1997) *X-ray Diffraction and the Identification and Analysis of Clay Minerals*, second edition. Oxford University Press, Oxford and New York.
- Reynolds R.C. and Reynolds R.C. (1996) *NEWMOD for Windows*: A program for the calculation of one-dimensional diffraction patterns of mixed-layered clays. Published by the authors, 8 Brook Road, Hanover, New Hampshire, USA.
- Środoń J., Elsass F., McHardy W.J., and Morgan D.J. (1992) Chemistry of illite-smectite inferred from TEM measurements of fundamental particles. *Clay Minerals*, 27, 137-158.

**주요어 :** 일라이트-스멕타이트 혼합층광물, 벤토나이트, 팽창성, 부합성산란영역크기

- 1) 연세대학교 지구시스템과학과 (momo@yonsim.yonsei.ac.kr)
- 2) 한국지질자원연구원